

بررسی نحوه عملکرد سیکل میسوتسنکو در نقاط مختلف ایران

محمد افتخاری یزدی
گروه مهندسی مکانیک
دانشگاه آزاد اسلامی، واحد تهران مرکز
m_eftekhariyazdi@iauctb.ac.ir

مرتضی یاری
گروه مهندسی مکانیک
دانشگاه تبریز
myari@uma.ac.ir

* صوبه قربانی فعال
گروه مهندسی مکانیک
دانشگاه آزاد اسلامی، واحد تهران مرکز
sanubar.ghorbani faal@gmail.com

تاریخ پذیرش: ۱۳۹۳/۰۵/۱۱

تاریخ دریافت: ۱۳۹۳/۰۴/۰۹

چکیده

در این مقاله نوعی کولر تبخیری غیرمستقیم نقطه شبنم، که براساس سیکل میسوتسنکو کار می‌کند، مطالعه و بررسی شده است. برای این منظور، اثر تغییرات دمای هوای ورودی و تغییرات رطوبت نسبی آن بر ضریب عملکرد، ظرفیت سرمایشی و دما و رطوبت نسبی هوای خروجی بررسی و در ادامه امکان‌پذیری استفاده از این سیستم در مناطق گوناگون ایران مطالعه شده است. بنابر نتایج به دست آمده، با افزایش دمای هوای ورودی ضریب عملکرد، ظرفیت سرمایشی و دمای هوای خروجی افزایش و رطوبت نسبی هوای خروجی کاهش می‌یابد. اما با افزایش رطوبت نسبی هوای ورودی ضریب عملکرد و ظرفیت سرمایشی کاهش و دما و رطوبت نسبی هوای خروجی افزایش می‌یابد. در مطالعه‌ای که برای شهرهای مختلف ایران انجام شد، استفاده از این سیستم بهدلیل پایین‌بودن نسبت رطوبت (کمتر از ۰/۱۶۶) در بیشتر نقاط کشور امکان‌پذیر است و شرایط آسایش را فراهم می‌کند.

واژگان کلیدی: انرژی، سیکل میسوتسنکو، کولر تبخیری، نقطه شبنم

۱. مقدمه

اخير، مصرف انرژي اوليه جهان (ساخت فسيلى) حدود ۴۹ درصد و توليد دى اكسيد كربن تقريرياً ۴۳ درصد افزایش يافته است [۲]. با اينكه بررسى های اخير از کاهش ۱/۱ درصدی مصرف جهانی انرژی در سال ۲۰۰۹ م، آن هم بهدلیل رکود اقتصادي پيش‌بینی نشده جهان، گزارش می‌دهد، اما مصرف انرژی در چند کشور در حال توسعه،

رشد سريع مصرف انرژي در دنيا امروز سبب ايجاد نگرانى هايى جدي در زمينه کاهش منابع انرژي و تغييرات شرایط اقليمي کرمه زمين شده است. اين افزایش مصرف در سرتاسر جهان ناشي از مواردي چون افزایش جمعيت جهان، رشد اقتصادي [۱]، توسيع شبکه هاي ارتباطي و سهم سبک زندگي جوامع توسعه يافته است. طي دو دهه



می باشد؛ یعنی این سیستم‌های سرمایشی سوخت فسیلی کمتری مصرف می‌کنند و دوستدار محیط زیست‌اند.

۲. معرفی سیستم

سیستم‌های سرمایش تبخیری امروزی مشتمل بر دو گونه مستقیم و غیرمستقیم می‌باشند. سیستم‌های سرمایش تبخیری مستقیم می‌توانند دمای هوا را با استفاده از گرمای نهان تبخیر آب پایین بیاورند. در نتیجه، هوای گرم و خشک به هوای سرد و مرطوب تبدیل می‌شود، اما انرژی موجود در هوا ثابت می‌ماند. چون این دسته از سیستم‌ها به هوای ورودی اتاق رطوبت می‌افزایند، تنها برای استفاده در شرایط آبوهوایی گرم و خشک و یا فضاهایی که هم نیاز به سرمایش دارند و هم افزایش رطوبت، مناسب‌اند [۴].

سیستم‌های سرمایش تبخیری غیرمستقیم قادر به کاهش دمای هوا بدون افزودن رطوبت می‌باشند. این ویژگی سبب جذابیت بیشتر این سیستم‌ها نسبت به نوع مستقیم آنها می‌باشد. به طور کلی، در یک کولر تبخیری غیرمستقیم، هوای تولیدی از سمت خشک صفحات مبدل جرم و حرارت عبور می‌کند، سمت دیگر این صفحات تر می‌باشد و هوای عبوری از سمت تر صفحات این مبدل‌ها گرمای نهان لازم

برای تبخیر آب را از سمت خشک صفحات می‌گیرد و بدین ترتیب سبب سردشدن هوای تولیدی می‌شود. در شرایط آرمانی، دمای هوای تولیدی در سمت خشک صفحات به دمای حباب تر هوای ورودی به سمت تر خواهد رسید و دمای خروجی از سمت تر از دمای حباب خشک ورودی سمت تر به دمای حباب خشک ورودی سمت خشک افزایش خواهد یافت و به حالت اشباع خواهد رسید. اما این سیستم‌ها در حین عملکرد از حالت ایده‌آل فاصله زیادی دارند، به طوری که در یک سیستم سرمایش تبخیری غیرمستقیم معمولی بازده حباب تر حدود ۵۰ تا ۶۰ درصد است [۴] و این بدان معناست که دمای خروجی هوای تولیدی مابین دمای حباب تر هوای ورودی به سمت مرطوب صفحات و دمای حباب خشک هوای تولیدی در

خصوصاً در مناطقی از آسیا با رشد اقتصادی بالا، بهشت در حال افزایش بوده است. بهدلیل رشد سریع جمعیت، بهبود سرویس‌های ساختمانی و افزایش زمانی که درون ساختمان‌ها سپری می‌شود، سهم مصرف انرژی در ساختمان‌ها را در کشورهای توسعه‌یافته، همچون ایالات متحده امریکا و اروپا، افزایش داده است. در سال ۲۰۰۴ م، مصرف انرژی ساختمان‌ها در کشورهای اروپایی ۳۷ درصد از کل انرژی مصرفی بوده است؛ یعنی بیشتر از مقدادی مربوط به صنعت (۲۸ درصد) و حمل و نقل (۳۲ درصد). در انگلستان، سهم مصرف انرژی در بخش ساختمانی ۳۹ درصد بوده که از متوسط مقدار اروپا نیز بیشتر است [۱]. در کشورهای توسعه‌یافته، انرژی مصرفی در سیستم‌های گرمایش و تهویه مطبوع^۱، ۵۰ درصد از انرژی مصرفی در ساختمان‌ها و ۲۰ درصد از کل انرژی مصرفی را شامل می‌شود. در بسیاری از کشورهای در حال توسعه، همچون چین، بهدلیل عایق‌کاری ضعیف، سیستم‌های گرمایش و تهویه مطبوع ناکارآمد (با بازده پایین) و تبدیل بازده پایین انرژی به گرمایش، مصرف انرژی سیستم‌های تهویه و تبرید حدود ۵۰ تا ۷۰ درصد از انرژی مصرفی در ساختمان‌ها را شامل می‌شود [۳].

برای برآوردن نیاز افزایش تجهیزات تهویه مطبوع، بدون استفاده از سیستم‌های متداول قدیمی که مصرف انرژی الکتریکی بالایی دارند، لازم است سیستم‌های سرمایشی توسعه یابند؛ سیستم‌هایی که به میردهای آلاینده نیازی ندارند و با منابع انرژی طبیعی و پاک کار می‌کنند.

سیستم‌های سرمایش تبخیری از گرمای نهان تبخیر آب استفاده می‌کنند؛ یعنی نوعی انرژی طبیعی در اتمسفر وجود دارد که کار تهویه مطبوع برای ساختمان‌ها را اجرا می‌کند. مصرف انرژی الکتریکی این سیستم‌ها تنها ۲۰ درصد از انرژی مصرفی سیستم‌های تهویه مطبوع تراکمی بخار است و این معادل کاهش ۴۴ درصدی دی اکسید کربن تولیدشده با سیستم‌های تهویه مطبوع تراکمی بخار



دارد. در انتهای کanal خشک جریان ثانویه^۴ درصد کمی از هوای ورودی به این کanal باقی مانده است که تا کمترین دما (نزدیک به نقطه شبنم هوای ثانویه ورودی) خنک شده است و در انتهای مسیر به سمت تر منتقل می‌شود. هوای موجود در سمت تر (جریان ثانویه در کanal تر) دمای پایین‌تری دارد و به همین دلیل قادر به جذب گرمای بیشتری از دو کanal مجاور؛ یعنی کanal خشک جریان اولیه و کanal خشک جریان ثانویه است. در کanal تر تغییر حالت‌های ۳' به ۳'' و ۳ را داریم که حاصل از تبخیر آب سمت تر صفحات و انتقال گرمای محسوس از جریان‌های مجاور است. همان‌طور که در شکل دیده می‌شود، جریان هوای در کanal تر خلاف جریان‌های دیگر است و این جریان در انتهای مسیر به اتمسفر تخلیه می‌شود. به طور همزمان، با طی مسیر جریان ثانویه، جریان اولیه نیز در کanal مجاور کanal تر خنک می‌شود و از حالت ۱ به حالت ۲ می‌رسد.

۳. تجزیه و تحلیل روابط مورد استفاده

بررسی انرژی، اگزرزی و ارزیابی پایایی برای طراحی سیستم ضروری است و در اینجا برای سیستم سرمایشی که بر پایه سیکل میسووتسنکو کار می‌کند تحلیل انرژی انجام شده است. بخشی از اطلاعات از مستندات آزمایشگاه ملی انرژی تجدیدپذیر^۵ گرفته شده است [۸]. شدت جریان جرمی هوای مرطوب (هوای خنکشده ورودی به ساختمان) برابر با کل شدت جریان‌های جرمی هوای خشک و آب می‌باشد:

$$\dot{m}_w + \dot{m}_{da} = \dot{m}_{ha} \quad (1)$$

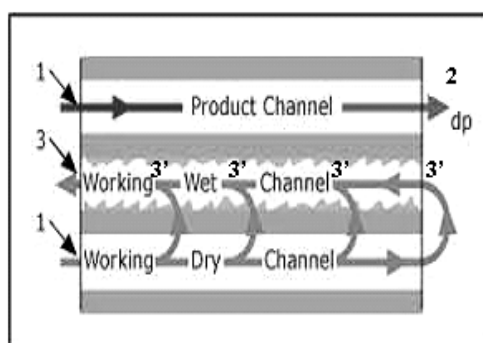
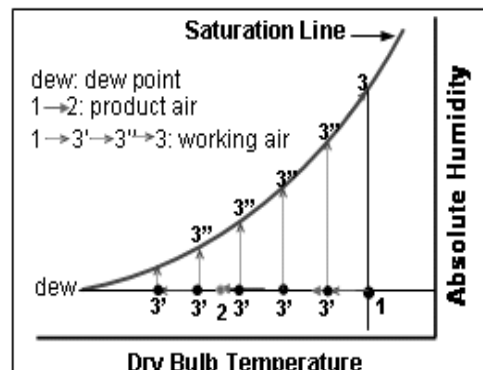
به طوری که در این رابطه \dot{m}_w شدت جریان جرمی آب موجود در مخلوط و \dot{m}_{da} شدت جریان جرمی هوای خشک موجود در مخلوط است. نرخ ظرفیت سرمایشی سیستم $\dot{Q}_{cooling}$ را می‌توان به صورت رابطه ۲ تعریف کرد:

$$\dot{Q}_{cooling} = \dot{m}_{da} (h_{in} - h_{out}) \quad (2)$$

به طوری که در این رابطه، h_{in} آنتالپی هوای مورد نظر ورودی و h_{out} آنتالپی هوای مورد نظر خروجی (هوای

نقطه ورود به سیکل خواهد بود، که معمولاً این دما برای سردکردن فضاهای مورد نظر خیلی بالاست.

اگر ساختار مبدل جرم و حرارت در یک سیستم سرمایش تبخیری غیرمستقیم تصحیح شود، می‌توان فرایند دمایی جدیدی تولید کرد که سرمایش نقطه شبنم نامیده می‌شود [۵]. این مبدل می‌تواند هوای تولیدی را تا دمایی پایین‌تر از حباب تر، و تا نزدیکی نقطه شبنم هوای ورودی خنک کند. شکل ۱، قاعدة کلی و نمودار سایکرومتریک یک مبدل ایده‌آل برای سرمایش نقطه شبنم، که جریان‌های هوای اولیه^۶ و ثانویه^۷ شرایط ورودی یکسانی دارند، را نشان می‌دهد [۶].



شکل ۱. اصول عملکرد سرمایش تبخیری نقطه شبنم [۷]

در این مثال، هوای ثانویه ورودی با حالت ۱ از سمت خشک صفحه عبور می‌کند و به دلیل رطوبت سمت دیگر صفحه خنک می‌شود و از سوراخ‌های موجود در امتداد مسیر به سمت تر صفحه جریان می‌یابد؛ یعنی تغییر از حالت ۱ به ۳'، که ۳' با توجه به موقعیت سوراخ‌ها شرایط مختلفی

دارند. از این کاهش می‌توان نتیجه گرفت که عملکرد این سیکل‌ها در مناطقی با رطوبت پایین بهتر است. در شکل ۵ نیز تغییرات دمای هوای مطلوب خروجی و رطوبت نسبی هوای مطلوب خروجی با افزایش نسبت رطوبت نمایش داده شده است.

۵. نتایج بررسی امکان استفاده از این کولر در شهرهای مختلف ایران

در بررسی این سیستم به این نتیجه می‌رسیم که در رطوبت نسبی‌های پایین مقادیر اختلاف بین دمای خشک و دمای نقطه شبنم زیاد است و این سبب عملکرد بهتر سیستم می‌شود. با توجه به شرایط آب‌وهواي شهرهای مختلف ایران، شاهد این واقعیت هستیم که با وجود دمای بالا برای اکثر شهرها، مخصوصاً در فصل تابستان، مقادیر رطوبت نسبی و نسبت رطوبت برای بیشتر شهرها پایین است و این خود بیانگر عملکرد خوب این سیستم در اکثر شهرهای ایران می‌باشد.

در جدول ۱ مقادیر مربوط به پارامترهایی که در بررسی امکان‌پذیری استفاده از این سیستم مؤثر هستند برای شهرهای مختلف ذکر شده است.

خنکشده ورودی به ساختمان) است. ضریب عملکرد سیستم نیز مطابق رابطه ۳ تعریف می‌شود:

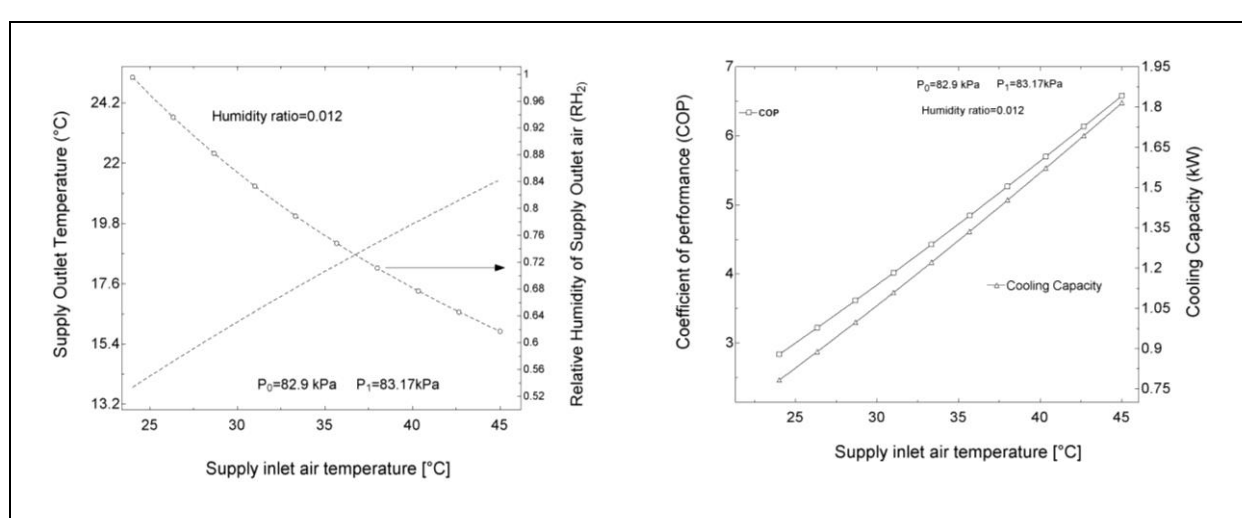
$$COP = \frac{\dot{Q}_{cooling}}{\dot{W}_{consume}} \quad (3)$$

به‌طوری‌که در این رابطه $\dot{W}_{consume}$ همان توان مصرف‌شده است.

۶. نتایج و نمودارها

۴-۱. تحلیل نتایج براساس قانون اول ترمودینامیک همراه با نمودارهای مربوطه

در شکل ۲ تأثیر دمای ورودی بر ضریب عملکرد سیستم و ظرفیت سرمایشی سیستم نمایش داده شده است. همان‌گونه که مشاهده می‌شود، با افزایش دمای ورودی ظرفیت سرمایشی افزایش و با توجه به ثابت‌بودن کار ورودی ضریب عملکرد نیز افزایش پیدا می‌کند. در شکل ۳ نیز تأثیر دمای هوای ورودی بر دما و رطوبت نسبی هوای خروجی مشاهده می‌شود. در شکل ۴ تأثیر نسبت رطوبت هوای ورودی بر ضریب عملکرد و ظرفیت سرمایش نمایش داده شده است. همان‌گونه که در این شکل مشاهده می‌شود، ضریب عملکرد و ظرفیت سرمایش سیر نزولی



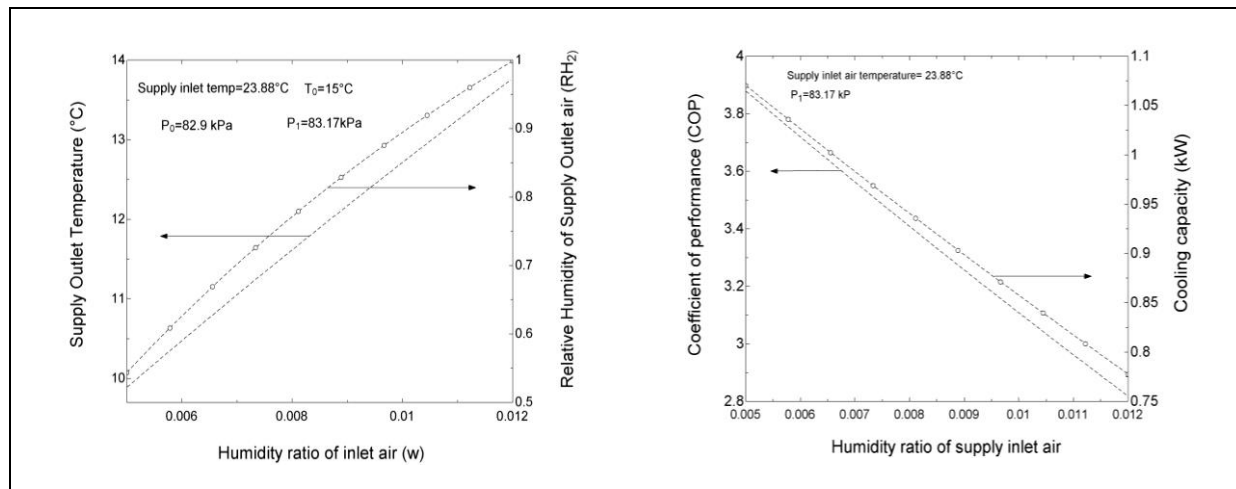
شکل ۲. تغییرات ضریب عملکرد و ظرفیت سرمایشی سیستم با تغییر دمای ورودی [۹]

شکل ۳. تأثیر دمای هوای ورودی بر دما و رطوبت نسبی هوای خروجی [۹]



این مدل را برای ارزیابی شهرهای مختلف معتبرتر یافتیم. با توجه به داده‌های جدول و بررسی‌های انجام شده، می‌توان گفت که در شهرهایی که اختلاف دمای خشک و دمای نقطه شبنم آنها بیش از ۱۳ درجه سانتی‌گراد است و نسبت رطوبت کمتر از ۰/۰۱۶۶ می‌باشد، استفاده از این نوع کولرها با عملکرد قابل قبولی امکان‌پذیر خواهد بود.

چون در شهرهای ایران با محدوده دمایی وسیعی روبرو هستیم، بنابراین رطوبت نسبی معیار مناسبی برای ارزیابی امکان استفاده از این سیستم نمی‌باشد. بنابراین با بررسی برای نسبت رطوبت در مدل شبیه‌سازی شده به این نتیجه می‌رسیم که در نسبت رطوبت‌های بالاتر از ۰/۰۱۶۶ رطوبت نسبی هوای خروجی از سیستم تقریباً ۱۰۰ درصد بوده و شرایط محیط را از شرایط آسایش خارج می‌کند و



شکل ۵. تأثیر نسبت رطوبت هوای ورودی بر دما و رطوبت نسبی هوای خروجی [۹]

شکل ۶. تأثیر نسبت رطوبت هوای ورودی بر ضریب عملکرد و ظرفیت سرمایش [۹]

چون ایران، که تنوع آب‌وهای زیادی دارد، جایگاه ویژه‌ای می‌تواند داشته باشند. گفتنی است که عملکرد این سیستم به پارامترهایی چون دما و رطوبت هوای بستگی دارد و در مناطق گرم و خشک بهتر از مناطق گرم و مرطوب می‌باشد. با افزایش دمای هوای ورودی، ضریب عملکرد و ظرفیت سرمایشی سیستم افزایش می‌یابند و همان‌گونه که انتظار می‌رفت با افزایش نسبت رطوبت هوای ورودی، ضریب عملکرد و ظرفیت سرمایشی نیز کاهش می‌یابند. در بررسی‌ای که برای شهرهای مختلف ایران انجام شد، استفاده از این سیستم، بهعلت پایین‌بودن نسبت رطوبت، در اکثر نقاط ایران ممکن است و شرایط آسایش را فراهم می‌کند. در شهرهایی با دمای بالا و نسبت رطوبت پایین،

در این مقاله سیکل تبرید تبخیری غیرمستقیم نقطه شبنم (میسوتسنکو) در نرمافزار ایزی[®] شبیه‌سازی و قانون اول ترمودینامیک برای متغیرهای مختلف بررسی شده است. همچنین امکان استفاده از این سیستم در شهرهای مختلف ایران برای برقراری شرایط آسایش مطالعه شده است. نتایج بهدست آمده از بررسی‌ها به شرح ذیل می‌باشند:

بر خلاف کولرهای تبخیری متداول (مستقیم) که به علت افزایش رطوبت هوای مورد نظر فقط در مناطق گرم و خشک به کار می‌روند، کولرهایی که براساس سیکل میسوتسنکو کار می‌کنند چون مقدار رطوبت هوای افزایش نمی‌دهند، علاوه بر مناطق گرم و خشک در مناطق گرم و مرطوب نیز قابل استفاده‌اند، به همین دلیل در کشورهایی

۶. نتیجه‌گیری

درصد افزایش می‌یابد. مهم‌ترین نتیجه‌گیری این بررسی پی‌بردن به کارایی بسیار بالای این سیستم در مناطق گرم و خشک با تولید کمترین میزان آلایندگی است که دیگر سیستم‌های تبرید فاقد این مزیت می‌باشند. در شهری چون آبادان با دمای هوای ۴۵ درجه سانتی‌گراد، این سیستم با مصرف انرژی ۴۰ درصد پایین‌تر از شهر گرگان با دمای هوای ۳۵ درجه، نشان از مزیت این سیستم در استفاده از انرژی نهان موجود در طبیعت برای ایجاد شرایط آسایش می‌باشد.

ضریب عملکرد این سیستم بسیار بالاست و با مصرف کمترین مقدار انرژی و تولید کمترین میزان آلودگی برای محیط زیست، شرایط مطلوب را برای محیط زندگی و کار فراهم می‌نماید. در شهرهایی چون گرگان، اهواز و جز این‌ها نیز، که نسبت رطوبت بالای دارند، این سیستم از کارایی خوبی برخوردار است و می‌توان برای تأمین شرایط آسایش از آن استفاده کرد. اما در مقایسه با شهرهایی چون آبادان، اصفهان، شیراز و بزد مصرف انرژی این سیستم تقریباً ۴۰ درصد بالاتر بوده و تولید دی‌اکسید کربن نیز ۴۰

جدول ۱. شرایط آب و هوایی شهرهای مختلف ایران [۱۰]

شهر	دماهی حباب خشک (degree Celsius)	دماهی حباب تر (degree Celsius)	دماهی نقطه شبنم (degree Celsius)	Relative Humidity (%)	Difference between dew point and freezing point (degree Celsius)	Relative Humidity (%)
آبادان	45/56	23/73	13/29	15/47	32/29	0.009649
اردبیل	29/72	20/26	16/31	44/34	13/41	0.01174
اصفهان	36/94	16/11	2/35	11/48	34/59	0.004504
اهواز	46/39	27/78	21/54	25/66	24/85	0.01689
بندرعباس	40/56	31/39	29/74	54/40	10/82	0.02666
تبریز	33/89	17/99	9/9	23/75	22/99	0.007918
تهران (تجربی)	35/56	23/46	19/36	36/69	16/2	0.01354
تهران (نارمک)	34/44	19/02	11/38	24/66	22/06	0.008484
رشت	31/94	25/73	23/61	61/31	8/23	0.01863
ساری	33/61	26/13	23/63	55/89	9/98	0.01866
سمنان	38/23	21/26	13/37	22/05	24/96	0.0094
سنندج	36/94	17/62	6/57	15/5	30/37	0.006096
شیراز	38/06	15/96	10/33	10/11	36/96	0.004213
کرج	35/56	17/77	8/6	20/47	26/96	0.007481
کرمان	36/39	15/4	1/656	11/41	34/73	0.004342
گرگان	35	25/26	21/8	46/27	13/2	0.01663
قزوین	35/28	19/35	11/21	22/58	24/07	0.008134
مشهد	35/28	20/71	14/04	28	21/24	0.01012
بزد	40	18/33	5/36	12/08	34/64	0.0042



۷. مأخذ

- [1] Perez-Lombard, L., J. Ortiz, et al. "A review on buildings energy consumption information." *Energy and Buildings*, vol. 40, 2008, pp. 394-398.
- [2] Petroleum, B., *BP statistical review of world energy*, London, UK, June 2009.
- [3] Jiang, Y. "Chinese building energy consumption situation and energy efficiency strategy." *New Architecture* (in Chinese), 2008.
- [4] ASHRAE, *ASHRAE Handbook Heating, Ventilating, and Air-Conditioning systems and equipment*: inch-pound edition, American Society of Heating, Refrigerating and Air-conditioning Engineers, 1996.
- [5] Maisotsenko, V., L. Gillan. *Method and apparatus for dew point evaporative product cooling*, U.S. Patent. United States, Idalex Technologies, Inc., 6776001, 2004.
- [6] Idalex Technologies, *The Maisotsenko cycle – conceptual: A technical concept view of the Maisotsenko cycle*, 2003, from <http://www.idalex.com> (accessed August 23, 2014).
- [7] Zhiyin Duan, *Investigation of a Novel Dew Point Indirect Evaporative Air conditioning System for Buildings*, September 2011, p. 26.
- [8] NREL, National Renewable Energy Laboratory, U.S. Department of Energy by Midwest Research Institute, Battelle, Bechtel. <http://www.nrel.gov> (accessed August 23, 2014).
- [۹] قربانی فعال، صنوبر. "تحلیل و بهینه‌سازی ترمودینامیکی سیکل میسوتسنکو." مهندسی مکانیک، شهریور ۱۳۹۲.
- [۱۰] رزاقی اصفهانی، محمدرضا. راهنمای کامل نرم‌افزار (HAP) Carrier. تهران: انتشارات مریم پورزند و کیل، ۱۳۸۶.

پی‌نوشت

-
1. HVAC
2. product
3. working
4. dry working air channel

5. National Renewable Energy Laboratory (NREL),
<http://www.nrel.gov> (accessed August 23, 2014)
6. EES ®



دانشگاه صنعتی / شهرکرد / شعبه ۹۳ / سال بیست و سوم / سال ۱۴۰۰



آدرس: خیابان حافظ، رویروی دانشگاه صنعتی امیر کبیر، کوچه آزادگان، پلاک ۲
تلفن: ۰۲۱۴۴۸۸۸۹۰۰۰، ۰۲۱۴۴۸۸۹۵۹۶۹ فکس: ۰۲۱۷۰۰۸۸۸۰